龙水金矿矿床成因初步探讨

傅成 铭

(西北地勘局 203 研究所)

桂东南金成矿带矿床(点)分布广泛,成矿特征相似。龙水金矿是该矿带中的主要矿床之一,开采历史较久,成因争论颇多,从而导致对矿带找矿远景的认识亦不相同。探讨龙水金矿的成因,析能有助于找矿工作的进一步开展。

成矿地质背景

龙水金矿位于南岭复杂构造带中段与湘南经向构造带末端相截部位, 桂东南金矿带的北西缘。矿区位于大宁花岗闪长岩岩体与寒武纪地层的接触带上(图1)。

矿区出露的地层主要是寒武系砂页岩建造和泥盆

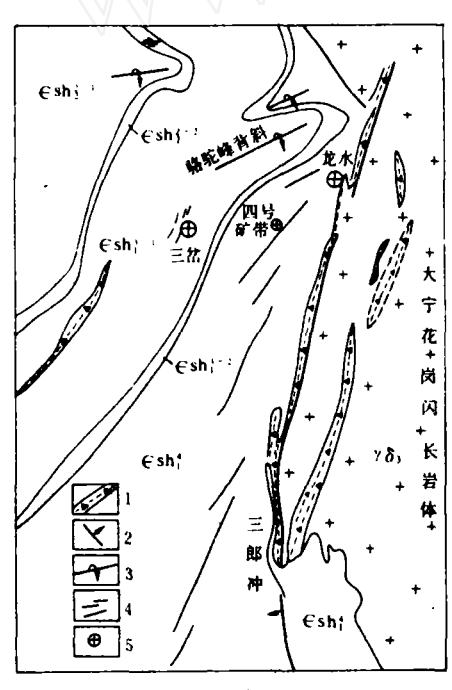


图 1 龙水金矿地质简图 (据广西冶金 地质204队)

Eshf 一炭质砂页岩互层。Eshf 二一石英粉砂岩。 Cshl 二一灰黑色砂页岩互层。Eshf 二一石英粉砂岩 夹页岩。E-shf 二一不等粒石英长石砂岩。アδ₁一花 岗闪长岩。1 一碎製岩带。2 一断层。3 一倒转背

斜: 4 一褶皱群: 5 一矿床

系那高岭组泥灰岩建造。矿床赋存于寒武系清溪亚群 (Eshì—Eshì) 含炭质砂页岩建造中。矿区主要构造线方向呈北北东向和北北西向。矿床主要产于北北东向断裂及其次级构造带中。矿区东部和北部出露有加里东期(445~407百万年,据冶金地质204队)和印支期大宁复式花岗闪长岩岩基。加里东期以斑状花岗闪长岩为主。石英闪长岩次之:岩体中普遍见有黑色闪长岩残留包体。印支期主要为细粒花岗岩,分布很少。加里东期花岗闪长岩与成矿有一定关系。

矿床特征

据初步统计, 矿区有60余条矿脉, 局部富矿包最高品位可达625g/t。

金矿床可分为破碎带硫化物型和石英脉型两种。 前者分布于距岩体接触带较近(1~800 m)的北北 东向断裂和近东西向破碎带中,如龙水1号脉带和骆 驼峰15号、16号矿脉。后者分布于距岩体接触带较远 (300~1500m)的北东向断裂带中,如4号脉带。 工业矿化主要富集于海拨100~400m范围内。

可化有四期。从早至晚分别为:变质热液期、早期贫硫化物石英期、多硫化物石英期和晚期贫硫化物石英期是主要成矿期。金主要呈裂隙金状态产出:黄铁矿、黄铜矿中亦常见有金的包裹体、方铅矿、闪锌矿中只见少量金包裹体。对赋存于不同矿物中的9粒金的电子探针分析、金的成色为491.09~771.70、平均为637.98(刘自力、1983)。

矿床成因

| . **矿体围岩——矿源层** 区内工业矿体均产于 寒武系炭质砂页岩中,顺层分布的特征较为明显。寒 武系炭质砂页岩(Cshf—Cshf)中金的含量为23.0~ 42.1ppb(乔恩光,1981),高出金的克拉克值(3.5~ 4 ppb) 5~10倍。相应地层中与金相关的元素Cu, Pb, Zn等背景值亦较高。

王秀璋等认为,层控金矿床的包裹体细小、规则、 类型复杂,以液体包裹体为主。包裹体成分总的特点 是: $Ca^{2+} > Na^{+} > K^{+} > Mg^{2+}$, $HCO_2 \cap RO_2 \cap Cl^{-}$ F。 & D值比较接近、大部分在 - 50~ - 90%之间。 作者在镜下对矿区光薄片做了观察、发现包裹体 主要赋存于石英和闪锌矿中。石英中包裹体为浅灰色 至无色、呈滴珠状、长圆状、颗粒细小、一般<0.01 mm,最大0.02mm: 多数是气液包裹体,少数是液体包裹体。均一法测定其形成温度为185~240℃,气液比为5~15″。包裹体成分Ca²+>K+>Na+>Mg²+,Cl⁻≫F⁻(表1),与层控矿床统计资料基本吻合。

包裹体成分测定结果 + (× 10 * 4 ppm)

表:

编号	矿	物	K*	Na '	Ca2+	Mg ²	F.	CI	CO2	CH4	Ηz	N ₂
L 16 10	Ŧi.	英	0.338	0.137	0:369	0.027	0.0308	0.181	1.399	0.044	0.006	0.039
L 164	石	英	1.281	0.639	1.698	1.874	0.100	0.926	25.80	0.481	0.042	0.074
L 66 - 3	石	英	1.498	0.167	0.097	0.087	0.051	0.158	5.24	0.05	0,003	0.087

*冶金部地质研究所测定,1983。

据杨绍修等统计、广西产于寒武系中的金矿床 (点)占该自治区金矿床(点)总数的73.3%,而桂 东南这类金矿床(点)达100处以上。这是寒武系做 为矿源层在区域上的一个显示。

2. 构造控矿 区内褶皱、断裂构造均较发育, 与金矿的关系密切,控制着矿体分布和产出。

(1) 褶皱-断裂构造的演化

①成矿前的构造:发生于加里东运动的早至中期, 形成北东向主断裂,并有花岗闪长岩侵入。动力变质 作用强烈,断裂带旁侧片理化发育。寒武纪地层中金 有初步富集 (Au< 3g/t)。

②成矿期构造:继承了成矿前的构造特征,发生于加里东运动晚期(4~4.5亿年)。按构造活动先后和性质,可分为初期压扭性构造、张性构造,后期压扭性构造和晚期张性构造四个阶段。

在张性构造活动阶段,初期形成细脉状贫硫化物石英金矿脉,后期张裂作用加强,形成多硫化物石英金矿脉,脉幅宽,金的含量很高,为矿区工业矿化期。晚期张性构造活动阶段有贫硫化物石英脉形成。

3成矿后构造:发生于印支一燕山期,张性活动

È	水	金	₩	断	製	构	遺	演	化	特	征	表(*

表 2

构造运动	运动期次	应力场特征	主应力方向	构造岩特征	变形特征	镜下特征	蚀变与矿化	
成 矿	la	压扭性逆断层。 垂直运动为主		构造片岩、炭质构 造片岩、断层泥	紧闭压扭性塑	炭质与石英呈 混合状, 炭质	早期黄铁矿化、重结 晶,沿构造片理发育: 晚期区域变质作用, 形成瓷白色石英,矿 化极弱	
成矿前构造	Ιb	开放性正断层。 垂直运动为主	×	构造角砾岩, 为 早期片理化岩石 破碎而成	性变形, 脆性 变形	微片理发育		
	Ha 压扭性水平运动。 左旋		*	碎裂岩,构造透	医扭性一张性	石英破碎,变	早期贫硫化物石英脉	
成矿期	IIb	张性水平运动。 由小到大	2	镜体	变形	形纹发育	多硫化物石英脉	
构 均	lic	压扭性断裂,垂 直运动为主	0/0	校角状 碎裂岩	压扭性一张性	粗粒黄铁矿普 遍压碎, 方铅	少姚比初日天亦	
·	IId	构造发生张 裂。 水平运动		该用 价件被右	变形	矿黑三角孔扭 曲	晚期贫硫化物石英脉	
成矿后构造	llla	张性急剧增强。 水平运动	X.		开放性张 性断		硅化、碳酸盐化、无	
构 造	IIIÞ	晚期东西向构造 运动较强	/0\ 		裂,脆性变形		矿化	

[#]据盛云台修改:

①据矿体中铅同位素样品分析,用铅单阶段封闭系统演化模式计算的模式年龄。

急剧增加,形成石英一碳酸盐脉或粗粒梳状石英脉。

综上所述,本区的构造活动及其所控制的成矿作 用,具有多期次、多阶段的特点。各期构造活动的性 质、应力方向、矿化特征列如表 2。成矿前和成矿期 所形成的石英的物理性质和所含杂质元素亦有不同 (表 3),反过来,石英性质的这种差异,也显示了其 成因的不同。

(2)构造控矿形式

不	固	石	英	之	物	化	性	质	×	(ppm)

			• •					;s
颜	色	色 光 泽		Pb	Ag	Li	As	注
灰	白	油脂光泽,	常铁染	100~1000	10~300	300~1000	50 ~ 300	来源较复杂
瓷	白	玻璃光泽,	表面干净	30 ~ 50	1 ~ 5	>1000	30~50	区域变质作用产物

*据广西冶金地质204队资料。

矿物

含矿石英

不含矿石英

矿脉的产出部位和富集程度与构造的性质和组合 形态密切有关,表现为单一构造控矿和复合构造控矿。

①单一断裂控矿: 矿体的形态和产出, 严格受单 一断裂构造的产状和延伸控制。如骆驼峰15号、16号 脉。断裂的膨大部位常形成富矿包,一般断裂下盘矿 化较好。

②近南北向的次级平行断裂控矿: 这在矿区具有 普遍性。主断裂既可是导矿构造又可是容矿构造,它 的次级断裂常是容矿构造(如龙水1号脉带)。这种构 造组合的规模和强度,由主断裂向侧部依次减弱;次 级断裂的分布具有一定的等距性。金矿化的强度也由 主断裂向侧部依次减弱 (图 2)。

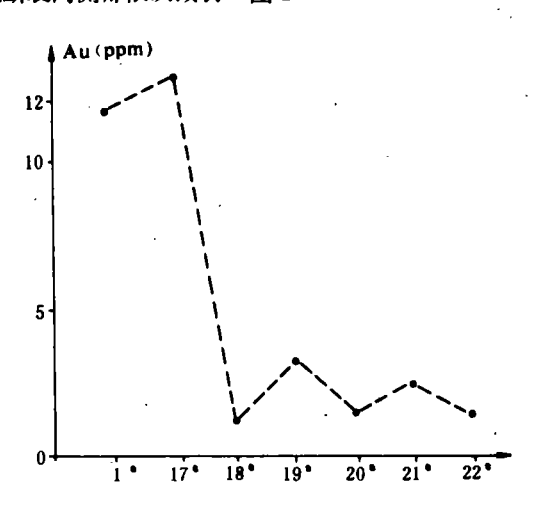


图 2 一号矿带各矿脉金品位变化曲线

③褶皱一断裂复合控矿: 主要发生于褶皱翼部, 多为层间断裂,矿脉有顺层分布的特点。

.④两组断裂交叉复合控矿:往往是主断裂延伸方 向上有许多垂向断裂,常形成富矿包。这种交叉断裂 的分布有一定的等距性。

3. 岩浆岩与成矿的关系 大宁花岗闪长岩岩体 普遍分布有暗色闪长岩残留包体。南京大学地质系认 为,大宁岩体是重熔深成闪长岩而成。本区各种岩石

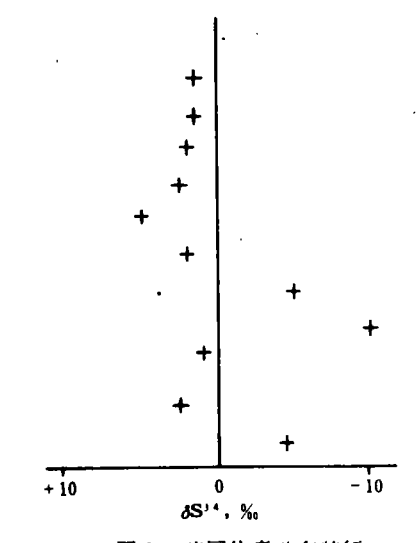
金含量分析(表 4)表明,在重熔过程中,斑状花岗 闪长岩较早期深成闪长岩金迁出5.3ppb。据此计算, 每立方公里可迁出金13.75t。可见大宁岩体作为金的 一个物质来源是具备的。

大宁岩体不同演化阶段金的分布

岩	石	演化阶段	金含量, ppb
闪长岩	残留体	早	9.0
斑状花岗	讨闪长岩		3.7
黑云母	花岗岩	↓	1.7
细晶	1 岩	晚	1.3
	闪长岩 斑状花岗 黒云母	闪长岩残留体 斑状花岗闪长岩 黑云母花岗岩	以长岩残留体 早 斑状花岗闪长岩 黑云母花岗岩 ▼

本次工作共測定和收集了15个硫同位素资料。 除3个样品较大地偏离陨石值外, δS³⁴‰ 大 都 在 +0.9~+6.28之间,接近陨石硫,反映了岩浆来源的 特点 (图3)。

区内工业矿体都集中于岩体附近(如1号矿带集



硫同位素分布特征

②硫同位素由冶金部地质研究所测定: 收集的同位素资 料来自广西冶金地质204地质队。

中了矿区储量的绝大部分,新近发现的17号、19号矿体均靠近岩体),而离岩体较远的4号矿脉带和三岛地区的矿化均较弱,很少构成工业矿体。靠近岩体的矿脉中,矿石矿物种类多(有黄铁矿、方铅矿、黄铜矿、黝铜矿等)、含量高,远离岩体的多是单一的石英脉型金矿。

与岩体接触带保持不同距离的各矿体中黄铁矿单

可物分析表明(表 5),近岩体者Co/Ni>1,最高达 4.59, S/Se 较低, <51715.18,最小为 4213.33; As<0.3,反映岩浆热液成因的特征。远岩体者 Co/Ni<1,最小0.23, S/Se 较大,达777936.5, As>0.3,显示沉积矿床特征。这些特征反映了物质来源与岩体、成矿作用和岩浆热液活动的相关程度。

黄铁矿单矿物标型元素含量表*(%, Ag. g/t)

表 5

样号	Cu	Ni	s	Ag	Fe	Co	Pb	Zn	As	Se	Te	Co/Ni	S/Se
L 4 — 2	0.018	0.012	49.45		44.78	0.005	0.080	0.072	0.31	-		0.4167	
L16-1	0.095	0.014	43.09	9.03	38.56	0.024	0.042	0.013	0.11	0.0054		1.7142	7975.95
L16 2	0.456	0.0160	50.56	6.56	45.34	0.018	0.020	0.0089	0.073	0.012		1.125	4213.23
L16-11	0.014	0.0074	45.11	13.55	40.55	0.034	0.060	0.020	0.29	0.0048		4.5905	9397.91
L17-3	0.15	0.0097	49.13	93.18	43.96	0.020	0.41	0.15	0.27	0.00095	0.00017	2.0618	51715.18
L17-5	0.74	0.0093	50.14	56.43	44.32	0.034	0.19	0.19	0.29	0.0014		2.6559	35614.26
L19 5	0.61	0.0073	48.21	634.89	42.64	0.010	0.91	0.14	0.16	0.0016	0.000117	1.3689	45481.13
S66-2	0.030	0.014	49.01	40.01	43.58	0.0010	0.68	1.73	0.62	0.00063	0.00027	0.233	777936.5

*昆明冶金研究所分析。

4.成矿机理 采自矿体中的16个石英和黄铁矿样品用均一法和爆裂法测温表明,成矿温度在160~295℃。对包裹体分析数据,采用日本武内寿久弥H2O—CO2体系温度、压力图解,表明成矿压力在170~550巴,平均250巴。由于测试数据有限,对酸碱度和氧化还原电位只作半定量估算。当pH等于5和10时,Eh分别为0.11~0.14和-0.9~-0.13。表明成矿作用处于近中性、弱氧化和弱还原的条件下。

据已有的资料和数据分析,本区Au主要是呈硫络合物形式搬运的: Au几乎都呈裂隙金和包裹体金的形式赋存于硫化物中,主要是黄铁矿和黄铜矿中;成矿温度与金络合物的实验资料一致: 包裹体中 Cl⁻和F⁻含量低(见表 1),而且近矿地层比远矿地层含量更低,Au以卤络合物形式迁移的可能性不大: 矿体附近普遍发生硅化,且越近矿体硅化越强。

矿化作用与炭质关系密切、炭质片岩是矿区良好的找矿标志之一。

- 1.寒武纪地层是金的重要的原始矿源层,龙水金矿具有层控特征。岩浆作用提供了部分成矿物质,显示成矿物质的多源性。
- 2.成矿构造具有多期次、多阶段的特点。不同期次和阶段的构造活动对矿化作用有不同的影响。
- 3.Au 主要呈硫络合物形式搬运。成矿作用的温度、压力较低;成矿过程在弱氧化、弱还原的条件下进行。含炭质地层是 Au 的最佳沉淀场所,并构成明显的找矿标志。

本专题研究过程中,引用了一些有关单位的资料和测试成果,桂林冶金地质学院骆靖中讲师、广西冶金 204 地质队朱章义工程师、冶金部第一勘探公司刘自力和孟表柱、核工业部 203 所戴文晗等同志曾给予大力帮助,在此一并致谢。

结 论

③冶金部地质研究所测定。